

УДК 538.975:538.956

ДИЭЛЕКТРИЧЕСКИЕ И ПЬЕЗОЭЛЕКТРИЧЕСКИЕ СВОЙСТВА КОМПОЗИТА СОПОЛИМЕРА ПОЛИ(ВИНИЛИДЕНФТОРИД-ТРИФТОРЭТИЛЕНА) С УГЛЕРОДНЫМИ НАНОТРУБКАМИ¹

© Д. А. Киселев^{2,3}, М. В. Силибин³, А. В. Солнышкин^{3,4}, А. В. Сыса³, И. К. Бдикин³

Статья поступила 22 июня 2016 г.

Синтезированы пленочные образцы сополимера поливинилиденфторид-трифторметилена с добавлением 2 % углеродных нанотрубок. Определены температуры сегнетоэлектрического фазового перехода и значения диэлектрической проницаемости образцов на частоте 1 МГц. Методами сканирующей зондовой микроскопии визуализирована поверхность, получены значения эффективного пьезоэлектрического коэффициента. Показано, что включение углеродных нанотрубок в полимерную матрицу повышает значения диэлектрической проницаемости и пьезоэффективности сополимера.

Ключевые слова: сополимер; углеродные нанотрубки; диэлектрическая проницаемость; пьезоэффективный коэффициент.

Среди новых сегнетоэлектрических материалов пьезоактивные органические кристаллы и полимеры находят все большее применение в технике и приборостроении [1 – 3]. В частности, поливинилиденфторид (ПВДФ) и его сополимеры используют в качестве дат-

чиков давления, преобразователей акустического сигнала и др. Пьезоактивные полимеры легко получить в виде пленок или волокон [4, 5] на стандартном лабораторном оборудовании, в частности существует возможность синтеза микроструктур с заданной формой.

Для улучшения механических и электрических свойств органических кристаллов и полимеров в последнее время применяют углеродные материалы, например, углеродные нанотрубки (УНТ) [6] и плоские однослойные углеродные структуры (графен) [7]. Так, благодаря своим уникальным свойствам атомный слой из sp²-гибридизированных углеродных атомов с дву-

¹ Работа выполнена при поддержке Российского научного фонда (проект № 16-19-10112).

² Национальный исследовательский технологический университет «МИСиС», Москва, Россия.

³ Национальный исследовательский университет «МИЭТ», Москва, Россия.

⁴ Тверской государственный университет, г. Тверь, Россия; e-mail: dm.kiselev@gmail.com

мерной гексагональной решеткой, формирующейся в УНТ и графене, может быть ключевым элементом в устройствах терагерцовых длин волн и СВЧ [8].

Повышенный научный интерес к таким композитным материалам, как ПВДФ — графен, ПВДФ — оксид графена и ПВДФ — УНТ, связан с их многофункциональностью и возможностью использования в экологически чистых, нетоксичных наноэлектронных устройствах.

Установлено, что добавление УНТ в сегнетоэлектрическую полимерную матрицу вызывает изменения ее механических, сегнето- и диэлектрических свойств [9 – 11], а графен существенно меняет накопление заряда в ПВДФ [12]. Анализ ди- и пьезоэлектрических характеристик показывает, что нанокомпозиты обладают улучшенными по сравнению с чистым ПВДФ свойствами [13]. Например, высокая диэлектрическая проницаемость (63 (100 Гц), что в девять раз выше, чем у чистого ПВДФ), получена при концентрации графена всего 1,27 % по объему, что может быть связано с аномальной дисперсией электрических свойств графеновых нанослоев [14].

Связь между ПВДФ и наночастицами играет важную роль в зарождении полимерной фазы. Существует корреляция между размером зоны зарождения пьезоэлектрической фазы и содержанием УНТ [15]. Нанокомпозиты ПВДФ — графен демонстрируют более высокую, чем чистый полимер, термостабильность [16].

Цель работы — исследование ди- и пьезоэлектрических свойств пленок чистого сополимера поли(винилиденфторид-трифтотиленена) [П(ВДФ-ТрФЭ)] и П(ВДФ-ТрФЭ) с включениями 2 % углеродных нанотрубок [П(ВДФ-ТрФЭ) + 2 % УНТ].

Образцы сополимера П(ВДФ-ТрФЭ) получали методом кристаллизации из раствора. Порошок П(ВДФ-ТрФЭ) с 30 %-м содержанием трифтотиленена растворяли в смеси диметилсульфоксида и ацетона. Полученный раствор пропускали через фильтр (0,5 мкм) для удаления возможных механических примесей и затем помещали в кювету, которую предварительно тщательно очищали ацетоном и высушивали в атмосфере азота.

При получении пленочных образцов из раствора, разлитого в кюветы, необходима строгая горизонтальность поверхности. С этой целью использовали специальный термостатируемый столик (точность установки горизонтальности — 1', точность поддержания температуры в каждой точке поверхности — 1 К). Для испарения растворителя кювету выдерживали на столике в течение 2 – 3 ч при постоянной температуре 373 К. Толщина полученных пленочных образцов составляла 20 – 30 мкм.

Аналогично готовили композитные пленки П(ВДФ-ТрФЭ) + 2 % УНТ. Чтобы образцы были однородными, УНТ предварительно размешивали в растворе сополимера, затем полученную суспензию по-

мещали на 1 ч в ультразвуковую ванну для образования однородной смеси. Толщина образцов композита П(ВДФ-ТрФЭ) + 2 % УНТ составляла ~30 мкм.

Для диэлектрических исследований на поверхность образцов напыляли алюминиевые электроды (площадь — 0,7 мм², толщина — 80 нм). Температурную зависимость комплексной диэлектрической проницаемости $\epsilon^* = \epsilon' - i\epsilon''$ (ϵ' и ϵ'' — действительная и мнимая части комплексной проницаемости ϵ^*) образцов чистого полимера и полимера с включениями УНТ измеряли на частоте 1 МГц при температуре 250 – 415 К (температурный интервал включал температуру стеклования $T_g \approx 270$ К и точку сегнетоэлектрического фазового перехода).

Визуализацию поверхности пленок П(ВДФ-ТрФЭ) и П(ВДФ-ТрФЭ) + 2 % УНТ осуществляли на сканирующем зондовом микроскопе MFP-3D (США) методом силовой микроскопии пьезоэлектрического отклика (СМП) с использованием кантилевера марки Asytec-01.

Поскольку деформация образца *A* пропорциональна эффективному пьезоэлектрическому коэффициенту d_{33} [17]

$$d_{33}^{\text{eff}} = A/V,$$

где *V* — напряжение, подаваемое на кантилевер, то с помощью СМП можно определить численные значения d_{33} исследуемых пленок. Для этого необходимо в режиме спектроскопии переключения локальной поляризации получить так называемые остаточные петли пьезоэлектрического гистерезиса (зависимости локальной деформации и фазы пьезосигнала от постоянного напряжения). В нашем эксперименте V_{DC} изменялось в диапазоне –100 – 100 В с шагом 4 В. Линейный участок петли локальной деформации при $V_{DC} \geq V_{C+}$ (V_{C+} — положительное коэрцитивное напряжение) аппроксимируется выражением для d_{33} и, таким образом, находят значения эффективного пьезоэлектрического коэффициента. Измерения проводили при комнатной температуре, изображения обрабатывали с помощью программы Gwyddion.

Сегнетоэлектрический фазовый переход в сополимере П(ВДФ-ТрФЭ) сопровождается так называемым температурным гистерезисом — несовпадением температурного хода термодинамических параметров (в частности, диэлектрической проницаемости), имеющих аномалии в точке фазового перехода, при нагреве и охлаждении [18, 19]. Поэтому диэлектрические свойства исследовали как в процессе нагрева до температуры выше точки фазового перехода, так и при охлаждении из параэлектрической фазы.

На рис. 1 приведена типичная зависимость действительной и мнимой частей комплексной диэлектрической проницаемости исследуемых образцов от температуры.

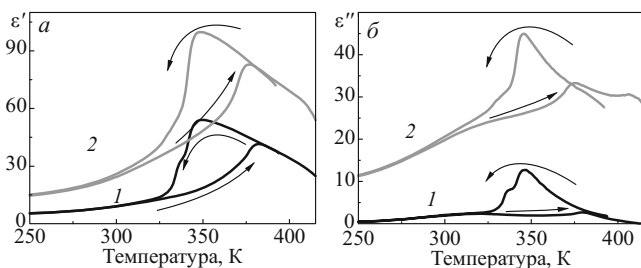


Рис. 1. Температурные зависимости ϵ' (а) и ϵ'' (б) на частоте 1 МГц для образцов П(ВДФ-ТрФЭ) (1) и П(ВДФ-ТрФЭ) + 2 % УНТ (2) в режиме нагрев – охлаждение (направление изменения T указано стрелками)

При нагреве максимумы ϵ' и ϵ'' , соответствующие переходу из сегнетоэлектрической фазы в паразелектрическую, для пленок чистого сополимера наблюдаются при $T_{\max} = 382$ К (кривые 1) [18]. Для ϵ'' максимум обусловлен также диэлектрическими потерями в кристаллической фракции сополимера благодаря флуктуациям дипольных моментов звеньев полимерной цепочки в критической области.

В процессе охлаждения из высокотемпературной фазы составляющие комплексной диэлектрической проницаемости возрастают. При этом максимумы обеих компонент приходятся на ~ 347 К (см. рис. 1).

Полученные данные показывают наличие значительного температурного гистерезиса (~ 35 К). Кроме того, при температуре 336 К ϵ' имеет второй максимум, которому соответствует «плечо» на температурной зависимости ϵ' , что свидетельствует о релаксационном процессе в данном температурном интервале. Его изучение требует дополнительных исследований.

Температурные зависимости ϵ' и ϵ'' для композитных пленок П(ВДФ-ТрФЭ) + 2 % УНТ (см. рис. 1, кривые 2) в целом аналогичны зависимостям для образцов чистого сополимера, однако имеют ряд существенных особенностей. Добавление УНТ заметно увеличивает вещественную часть диэлектрической проницаемости и существенно повышает диэлектрические потери. Присутствие УНТ в полимерной матрице смещает температуру ее сегнетоэлектрического фазового перехода, наблюдаемого при нагреве, на 5 К (до 377 К), при этом в процессе охлаждения температурное положение пика диэлектрической проницаемости остается неизменным. В композитных образцах отсутствует дополнительный максимум ϵ'' при 336 К.

Увеличение диэлектрической проницаемости композитных образцов обусловлено наличием проводящих включений в виде УНТ. Возможная причина наблюдаемого при нагреве сдвига температуры фазового перехода — возникновение миграционной поляризации за счет накопления зарядов на границе раздела полимер — УНТ. Поле зарядов способствует разориентации дипольных моментов кристаллической фракции сополимера, что вызывает сегнетоэлектри-

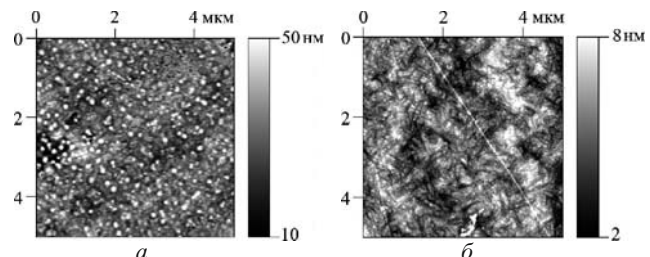


Рис. 2. Топография поверхностей образцов П(ВДФ-ТрФЭ) (а) и П(ВДФ-ТрФЭ) + 2 % УНТ (б)

ческий фазовый переход при более низкой температуре. При высоких температурах распадается также и миграционная поляризация, поэтому при охлаждении максимумы диэлектрических проницаемостей для образцов П(ВДФ-ТрФЭ) и П(ВДФ-ТрФЭ) + 2 % УНТ совпадают.

На рис. 2 показаны топографические изображения пленок П(ВДФ-ТрФЭ) и П(ВДФ-ТрФЭ) + 2 % УНТ. Видно, что поверхность сополимера при добавлении 2 % УНТ претерпевает изменение — появляется ламеллярная структура, свойственная для полимерных пленок (см. рис. 2, б) [20]. Значения среднеквадратичной шероховатости для исследуемых образцов составили $7,2 \pm 0,2$ и $1,3 \pm 0,1$ нм соответственно. Таким образом, можно заключить, что внедрение в полимер углеродных нанотрубок ведет к существенному «сглаживанию» поверхности.

Поскольку кантителевер сканирующего зондового микроскопа имеет проводящее покрытие и находится в непосредственном контакте с поверхностью образца, он играет роль верхнего проводящего электрода, что дает возможность исследовать локальные эффекты переключения поляризации в точке контакта кантителевер — образец. Режим DART-PFM [21] позволяет получать локальные петли пьезоэлектрического гистерезиса, причем измеряются одновременно изменение фазы пьезоэлектрического отклика и деформация образца под действием постоянного электрического напряжения.

На рис. 3 представлены типичные зависимости сигнала фазы и локальной деформации от напряжения. Изменение фазы на 180 °С (см. рис. 3, а) говорит о полном переключении поляризации в исследуемых пленках. В то же время наблюдается асимметрия петель гистерезиса — петли смешены в область отрицательных напряжений, что связано с наличием внутренних полей, причем это более ярко выражено для чистого П(ВДФ-ТрФЭ) (кривая 1). Добавление УНТ несколько выравнивает значения коэрцитивных напряжений (кривая 2).

Схожие результаты были получены при исследовании пленок ПВДФ с добавлением оксида графена (ПВДФ + ОГ) [22]. Показано, что по сравнению с ПВДФ ориентированный образец ПВДФ + ОГ обладает намного лучшим пьезоэлектрическим откликом и добавка ОГ действительно усиливает образование

β -фазы, тем самым делая петлю пьезоэлектрического гистерезиса симметричной.

Значения рассчитанного эффективного пьезоэлектрического коэффициента составили 5 [для чистого сополимера П(ВДФ-ТрФЭ)] и 30 пм/В (для образца с УНТ). Согласно формуле

$$d_{zz} \sim \epsilon P_s,$$

где P_s — спонтанная поляризация, можно утверждать, что образец с большей диэлектрической проницаемостью (П(ВДФ-ТрФЭ)+2 %УНТ) имеет больший эффективный пьезокоэффициент.

Таким образом, проведенные исследования показали, что увеличение диэлектрической проницаемости композитных образцов обусловлено наличием проводящих включений в виде УНТ. Возможная причина наблюдаемого при нагреве сдвига температуры фазового перехода — возникновение миграционной поляризации за счет накопления зарядов на границе раздела полимер — УНТ. Методами сканирующей зондовой микроскопии визуализированы поверхности и получены значения среднеквадратичной шероховатости исследуемых образцов. Установлено, что внедрение в сополимер П(ВДФ-ТрФЭ) УНТ приводит к уменьшению шероховатости поверхности. В режиме спектроскопии переключения локальной поляризации получены петли пьезоэлектрического гистерезиса. Рассчитанные эффективные пьезоэлектрические коэффициенты составили для чистого сополимера П(ВДФ-ТрФЭ) 5, а для образца с добавлением 2 % УНТ — 30 пм/В. Проведенные эксперименты как на макро-, так и на локальном уровнях показали, что включение УНТ в сополимер П(ВДФ-ТрФЭ) улучшают его диэлектрические и пьезоэлектрические характеристики.

ЛИТЕРАТУРА (REFERENCES)

1. Tayi A. S. et al. Room-temperature ferroelectricity in supramolecular networks of charge-transfer complexes / Nature. 2012. Vol. 488. N 7412. P. 485 – 489.
2. Zhang G. et al. Ferroelectric Polymer Nanocomposites for Room Temperature Electrocaloric Refrigeration / Advanced Materials. 2015. Vol. 27. N 8. P. 1450 – 1454.
3. Heredia A. et al. Nanoscale Ferroelectricity in Crystalline γ -Glycine / Advanced Functional Materials. 2012. Vol. 22. N 14. P. 2996 – 3003.
4. Rahman M. A. et al. Fabrication and characterization of highly efficient flexible energy harvesters using PVDF — graphene nanocomposites / Smart Materials and Structures. 2013. Vol. 22. N 8. P. 085017.
5. Heredia A. et al. Preferred deposition of phospholipids onto ferroelectric P (VDF-TrFE) films via polarization patterning / Journal of Physics D: Applied Physics. 2010. Vol. 43. N 33. P. 335301.
6. Chae S. H., Lee Y. H. Carbon nanotubes and graphene towards soft electronics / Nano Convergence. 2014. Vol. 1. N 1. P. 1 – 26.
7. Geim A. K. Graphene: status and prospects / Science. 2009. Vol. 324. N 5934. P. 1530 – 1534.
8. Chen D. et al. Electromagnetic and microwave absorbing properties of RGO@ hematite core-shell nanostructure/PVDF composites / Composites Science and Technology. 2014. Vol. 102. P. 126 – 131.
9. Bhattacharya M. Polymer Nanocomposites — A Comparison between Carbon Nanotubes, Graphene, and Clay as Nanofillers / Materials. 2016. Vol. 9. N 4. P. 262.
10. Guan X. et al. PZT/PVDF composites doped with carbon nanotubes / Sensors and Actuators A: Physical. 2013. Vol. 194. P. 228 – 231.
11. Carabineiro S. A. C. et al. Effect of the carbon nanotube surface characteristics on the conductivity and dielectric constant of carbon nanotube/poly(vinylidene fluoride) composites / Nanoscale Res. Lett. 2011. Vol. 6. N 1. P. 1 – 5.
12. Layek R. K. et al. Physical and mechanical properties of poly (methyl methacrylate)-functionalized graphene/poly (vinylidene fluoride) nanocomposites: Piezoelectric β polymorph formation / Polymer. 2010. Vol. 51. N 24. P. 5846 – 5856.
13. Rahman M. A., Chung G. S. Synthesis of PVDF-graphene nanocomposites and their properties / J. Alloys Compounds. 2013. Vol. 581. P. 724 – 730.
14. Adohi B. J. P. et al. Measurement of the microwave effective permittivity in tensile-strained polyvinylidene difluoride trifluoroethylene filled with graphene / Appl. Phys. Lett. 2014. Vol. 104. N 8. P. 082902.
15. Tsonos C. et al. Multifunctional nanocomposites of poly(vinylidene fluoride) reinforced with carbon nanotubes and magnetite nanoparticles / Polymer. 2015. Vol. 5. P. 7.
16. Jiang Z. Y. et al. Enhanced ferroelectric and pyroelectric properties of poly(vinylidene fluoride) with addition of graphene oxides / J. Appl. Phys. 2014. Vol. 115. N 20. P. 204101.
17. Chiu K. C. et al. Prominent electric properties of BiFeO₃ shells sputtered on ZnO-nanorod cores with LaNiO₃ buffer layers / Nanotechnology. 2013. Vol. 24. N 22. P. 225602.
18. Solnyshkin A. V. et al. Anomalies of dielectric properties of vinylidene fluoride-trifluoroethylene copolymer films / Physics of the Solid State. 2008. Vol. 50. N 3. P. 562 – 567.
19. Solnyshkin A. V., Kislova I. L. Analysis of the Relaxor-Like Behavior in a Ferroelectric Copolymer P (VDF-TrFE) / Ferroelectrics. 2010. Vol. 398. N 1. P. 77 – 84.
20. Solnyshkin A. V. et al. Atomic force microscopy study of ferroelectric films of P (VDF-TrFE) copolymer and composites based on it / Journal of Surface Investigation. X-ray, Synchrotron and Neutron Techniques. 2008. Vol. 2. N 5. P. 692 – 695.
21. Rodriguez B. J. et al. Dual-frequency resonance-tracking atomic force microscopy / Nanotechnology. 2007. Vol. 18. N 47. P. 475504.
22. Jiang Z. Y. et al. Formation of piezoelectric β -phase crystallites in poly (vinylidene fluoride)-graphene oxide nanocomposites under uniaxial tensions / Journal of Physics D: Applied Physics. 2015. Vol. 48. N 24. P. 245303.

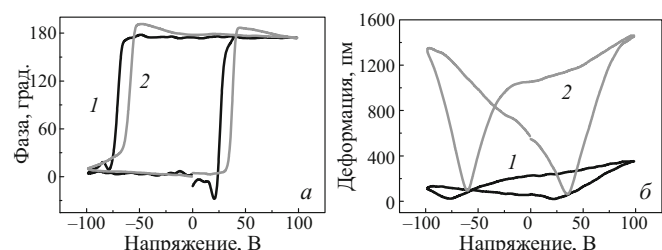


Рис. 3. Петли локального пьезоэлектрического гистерезиса для образцов П(ВДФ-ТрФЭ) (1) и П(ВДФ-ТрФЭ) + 2 % УНТ (2): а и б — изменения фазы и деформации